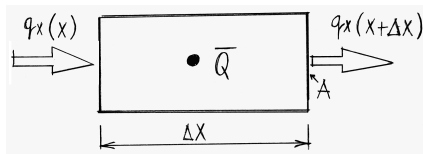


Řešení časově evolučních procesů - jednorozměrné nestacionární vedení tepla

Diferenciální rovnice problému

Balance energie

Při přenosu tepla protéká tepelný tok objemovým elementem. Balance energie v kontrolním objemu (Δx) za jednotku času Δt):



$$c_v dm \Delta T = \underbrace{q_x(x)A(x)}_{\text{vstup}} - \underbrace{q_x(x + \Delta x)A(x + \Delta x)}_{\text{výstup}} + \underbrace{\bar{Q}(x + \frac{\Delta x}{2})\Delta x A(x + \frac{\Delta x}{2})}_{\text{zdroj}}$$

- ▶ c_v je měrná tepelná kapacita materiálu, vyjadřuje množství tepla na hmotnosti objemu, potřebné k jeho změně o jeden stupeň [$J \, kg^{-1} \, K^{-1}$]
- ▶ $dm = \rho \Delta x \Delta y$ je diferenciál hmotnosti kontrolního objemu
- ▶ Ostatní členy - viz. přednáška o stacionárním vedení tepla

Úpravou, uvažováním Fourierova zákona $q(x) = -\lambda \frac{\partial T}{\partial x}$ a limitním přechodem pro $\Delta x \rightarrow 0$, $\Delta t \rightarrow 0$:

$$\rho c_v \frac{\partial T}{\partial t} = \frac{\partial}{\partial x} \left(\lambda \frac{\partial T}{\partial x} \right) + \bar{Q}$$

Okrajové a počáteční podmínky

- ▶ Předepsaná teplota na hranici - Dirichletovská okrajová podmínka:

$$T(x) = \bar{T}(x) \quad \text{pro } x \in \Gamma_T$$

- ▶ Předepsaný tepelný tok

$$q_x(x)n(x) = \bar{q}_x(x) \quad \text{pro } x \in \Gamma_{\bar{q}}$$

- ▶ Počáteční podmínky $T(x, 0) = \bar{T}_0(x)$

Slabé řešení

Základní přístupy k formulaci slabého řešení

- ▶ diskretizace celé časoprostorové oblasti - časoprostorové prvky
- ▶ časová diskretizace metodou vážených reziduí
- ▶ časová diskretizace diferenčními schématy

Poslední dva přístupy představují algoritmicky výhodnou variantu (podstatně menší paměťové nároky).

Diskretizace podle prostorových proměnných

$$\int_{\Omega} \delta T \left(\rho c_v \frac{\partial T}{\partial t} - \frac{\partial}{\partial x} \left(\lambda \frac{\partial T}{\partial x} \right) - \bar{Q} \right) d\Omega = 0$$

Integrací per-partes u druhého členu:

$$\int_{\Omega} \delta T \left(\rho c_v \frac{\partial T}{\partial t} \right) d\Omega + \int_{\Omega} \frac{\partial \delta T}{\partial x} \left(\lambda \frac{\partial T}{\partial x} \right) d\Omega - \int_{\Gamma} \delta T \lambda \frac{\partial T}{\partial x} d\Omega - \int_{\Omega} \delta T \bar{Q} d\Omega$$

Diskretizace podle prostorových proměnných

- ▶ Uvažujme dělení oblasti Ω na n konečných prvků Ω^e
- ▶ Na každém prvku e , zavedeme *lokální* aproximaci

$$T^e(x) \approx \mathbf{N}^e(x) \mathbf{r}^e, \quad \frac{\partial T^e}{\partial x}(x) \approx \mathbf{B}^e(x) \mathbf{r}^e,$$

$$\delta T^e(x) \approx \mathbf{N}^e(x) \mathbf{w}^e, \quad \frac{\partial \delta T^e}{\partial x}(x) \approx \mathbf{B}^e(x) \mathbf{w}^e$$

- ▶ Dosazením do slabého řešení: Pro všechna \mathbf{w}^e taková, že $\mathbf{w}^e = 0$ na Γ_T

$$\sum_{e=1}^n \mathbf{w}^{eT} \left(\overbrace{\int_{\Omega^e} \mathbf{N}^{eT} \rho c_v \mathbf{N}^e d\Omega}^{\mathbf{P}_{e,\Omega}} \frac{\partial T^e}{\partial t} + \overbrace{\int_{\Omega^e} \mathbf{B}^e(x)^T \lambda^e(x) \mathbf{B}^e(x) dx}^{\mathbf{K}_{e,\Omega}} \mathbf{r}^e + \overbrace{\int_{\Gamma_{qc}^e} \mathbf{N}^e(x)^T \alpha^e(x) \mathbf{N}^e(x) ds}^{\mathbf{K}_{e,\Gamma}} \mathbf{r}^e \right. \\ \left. - \overbrace{\int_{\Gamma_{qc}^e} \mathbf{N}^e(x)^T \alpha(x) \mathbf{N}^e(x) T_0^e ds}^{\mathbf{f}_{e,\Gamma_c}} + \overbrace{\int_{\Gamma_{qp}^e} \mathbf{N}^e(x)^T \mathbf{N}^e(x) \mathbf{q}_e ds}^{-\mathbf{f}_{e,\Gamma_p}} - \overbrace{\int_{\Omega^e} \mathbf{N}^e(x)^T \mathbf{N}^e(x) \mathbf{Q}_e ds}^{\mathbf{f}_{e,\Omega}} \right) = 0$$

pro všechna δT taková, že $\delta T = 0$ na Γ_T .

Diskretizace v čase

Metoda konečných diferencí

Uvažujme aproximaci řešení na časovém intervalu $[t, t + \Delta t]$ ve tvaru

$$\mathbf{r}^e = (1 - \tau)\mathbf{r}_t^e + \tau\mathbf{r}_{t+\Delta t}^e, \quad \tau \in [0, 1]$$

Stejným způsobem aproximujeme i vektory okrajových podmínek

$$\mathbf{f}^e = (1 - \tau)\mathbf{f}_t^e + \tau\mathbf{f}_{t+\Delta t}^e, \quad \tau \in [0, 1]$$

Časovou derivaci vyjádříme pomocí následující diferenční náhrady

$$\frac{\partial \mathbf{r}^e}{\partial t} = \frac{1}{\Delta t}(\mathbf{r}_{t+\Delta t}^e - \mathbf{r}_t^e)$$

Po dosazení do slabého řešení (s provedenou prostorovou diskretizací)

$$\frac{1}{\Delta t} \mathbf{P}^e (\mathbf{r}_{t+\Delta t}^e - \mathbf{r}_t^e) + \mathbf{K}^e ((1 - \tau) \mathbf{R}_t^e + \tau \mathbf{r}_{\Delta t}^e) = (1 - \tau) \mathbf{f}_t^e + \tau \mathbf{f}_{t+\Delta t}^e$$

Po úpravě obdržíme

$$\begin{aligned} \left(\tau \mathbf{K}^e + \frac{1}{\Delta t} \mathbf{P} \right) \mathbf{r}_{t+\Delta t}^e = \\ \left(-(1 - \tau) \mathbf{K}^e + \frac{1}{\Delta t} \mathbf{P}^e \right) \mathbf{r}_t^e + (1 - \tau) \mathbf{f}_t^e + \tau \mathbf{f}_{t+\Delta t}^e \end{aligned}$$

Poslední rovnice představuje rekurentní vztah pro výpočet uzlových hodnot teploty. Pokud známe počáteční hodnoty, lze opakovaným použitím této rovnice stanovit řešení pro libovolný čas.

Volba τ ovlivňuje stabilitu a přesnost metody

τ	název	stabilita	přesnost
0	explicitní (Eulerova)	podmíněná	$O(\Delta t)$
1	implicitní	nepodmíněná	$O(\Delta t)$
1/2	Crank-Nicolson	nepodmíněná	$O(\Delta t^2)$

Diskretizace v čase

Metoda vážených reziduí

- Vektor uzlových hodnot aproximujeme v časovém intervalu Δt jako

$$\mathbf{T}^e(\tau) = \sum_i \mathbf{N}(\tau) \mathbf{T}_i^e$$

- Pro lineární aproximaci

$$\mathbf{T}^e = \left(1 - \frac{\tau}{\Delta t}\right) \mathbf{T}_t^e + \frac{\tau}{\Delta t} \mathbf{T}_{t+\Delta t}^e$$

dosazením do rovnice, přenásobením váhovou funkcí¹ a integrací na intervalu $[0, \Delta t]$

$$\int_0^{\Delta t} w \left[\mathbf{P} \left(\frac{\partial(1 - \frac{\tau}{\Delta t})}{\partial \tau} \mathbf{T}_t + \frac{\partial(\tau/\Delta t)}{\partial \tau} \mathbf{T}_{t+\Delta t} \right) + \mathbf{K} \left(\left(1 - \frac{\tau}{\Delta t}\right) \mathbf{T}_t + \frac{\tau}{\Delta t} \mathbf{T}_{t+\Delta t} \right) - \mathbf{f} \right] d\tau = 0$$

¹Předpokládáme, že \mathbf{T}_t známe, stačí tedy jen jedna váhová funkce 

Úpravou pak

$$\begin{aligned} & \frac{1}{\Delta t} \mathbf{P}(\mathbf{T}_{t+\Delta t} - \mathbf{T}_t) \int_0^{\Delta t} w d\tau + \mathbf{K} \mathbf{T}_t \int_0^{\Delta t} w d\tau + \\ & \frac{1}{\Delta t} \mathbf{K}(\mathbf{T}_{t+\Delta t} - \mathbf{T}_t) \int_0^{\Delta t} w_{\tau} d\tau - \int_0^{\Delta t} w \mathbf{f} d\tau = 0 \end{aligned}$$

Pokud označíme

$$\begin{aligned} \gamma &= \frac{1}{\Delta t} \frac{\int_0^{\Delta t} w_{\tau} d\tau}{\int_0^{\Delta t} w d\tau} \\ \bar{\mathbf{f}} &= \frac{\int_0^{\Delta t} w \mathbf{f} d\tau}{\int_0^{\Delta t} w d\tau} \end{aligned}$$

$$\frac{1}{\Delta t} \mathbf{P}(\mathbf{T}_{t+\Delta t} - \mathbf{T}_t) + \mathbf{K} [\mathbf{T}_t + \gamma(\mathbf{T}_{t+\Delta t} - \mathbf{T}_t)] - \bar{\mathbf{f}} = 0$$

a po úpravě dostaneme formálně shodný zápis s předchozím postupem

$$\underbrace{\left(\gamma \mathbf{K} + \frac{1}{\Delta t} \mathbf{P}\right)}_{\mathbf{C}} \mathbf{T}_{t+\Delta t} = \underbrace{\left(-(1-\gamma) \mathbf{K} + \frac{1}{\Delta t} \mathbf{P}\right)}_{\mathbf{D}} \mathbf{T}_t + \bar{\mathbf{f}}$$

Zvolíme-li váhovou funkci $w = \tau/\Delta t$ (Galerkin), pak $\gamma = 2/3$, nebo pro $w = konst.$, pak $\gamma = 1/2$.

Předností je definice $\bar{\mathbf{f}}$, která umožňuje zahrnout obecné změny okrajových podmínek během časového kroku.

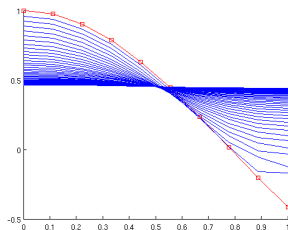
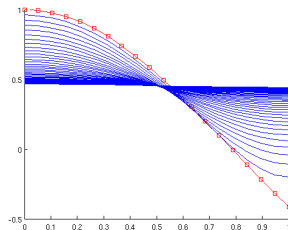
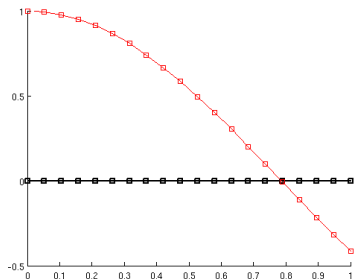
Metoda konečných diferencí

Výpočet matice kapacity, příklad

Uvažujme prvek s lineární aproximací a $\tau = 0.5$:

$$\begin{aligned}\mathbf{P}_{e,\Omega} &= \int_{\Omega^e} \mathbf{N}^{eT} \rho c_V \mathbf{N}^e d\Omega = \\ &= \int_{\Omega^e} \begin{bmatrix} (x_2 - x)/l \\ (x - x_1)/l \end{bmatrix} \rho c_V \begin{bmatrix} \frac{x_2 - x}{l} & \frac{x - x_1}{l} \end{bmatrix} d\Omega = \\ &= \rho c_V l \begin{bmatrix} 1/3 & 1/6 \\ 1/6 & 1/3 \end{bmatrix}\end{aligned}$$

Ilustrační příklad: Určete rozložení teploty v nekonečné stěně o šířce 1m, jejíž stěny jsou dokonale izolované a počáteční teplota je $T_o(x) = \cos(2x)$ ($\rho = c_v = \lambda = 1.0$):



Doporučená literatura:

- 1 R. Černý: *Řešení transportních jevů na počítači*, vydavatelství ČVUT, 1997.